## МОСКОВСКИЙ ГОСУДАРСТВЕННЫЙ УНИВЕРСИТЕТ имени М.В. ЛОМОНОСОВА

На правах рукописи

#### Суконкин Максим Алексеевич

# Подавление влияния приповерхностных неоднородностей на магнитотеллурические данные

1.6.9. Геофизика

# АВТОРЕФЕРАТ диссертации на соискание учёной степени кандидата технических наук

Диссертация подготовлена на кафедре геофизических методов исследования земной коры геологического факультета МГУ имени М.В. Ломоносова

Научный Пушкарев Павел Юрьевич

руководитель: доктор геолого-минералогических наук, доцент

#### Официальные оппоненты:

Белявский Виктор Владимирович, доктор технических доиент. Центр начк. геоэлектромагнитных исследований, филиал ФГБУН Институт физики Земли им. О.Ю. Шмидта Российской академии наук, лаборатория методологии интерпретации электромагнитных данных, главный научный сотрудник

**Рыбин Анатолий Кузьмич,** доктор физикоматематических наук, ФГБУН Научная станция Российской академии наук в г. Бишкеке, директор, главный научный сотрудник

Шимелевич Михаил Ильич, доктор физикоматематических наук, ФГБОУ ВО «Российский государственный геологоразведочный университет имени Серго Орджоникидзе», Институт цифровых технологий недропользования, кафедра Информационных систем и технологий, профессор

Защита диссертации состоится 19 ноября 2025 г. в 14 часов 30 минут на заседании диссертационного совета МГУ.016.6 Московского государственного университета имени М.В. Ломоносова по адресу: 119991, Москва, Ленинские горы, д. 1, Главное здание МГУ, сектор «А», аудитория 308.

E-mail: dsmsu0403@yandex.ru

С диссертацией можно ознакомиться в отделе диссертаций научной библиотеки МГУ имени М.В. Ломоносова (Ломоносовский проспект, д. 27) и на портале: <a href="https://dissovet.msu.ru/dissertation/3592">https://dissovet.msu.ru/dissertation/3592</a>

Автореферат разослан «\_\_\_\_» октября 2025 г.

Ученый секретарь диссертационного совета МГУ.016.6, кандидат технических наук

К.М. Кузнецов

#### І. ОБЩАЯ ХАРАКТЕРИСТИКА РАБОТЫ

#### Актуальность темы исследования

Метод магнитотеллурического зондирования (МТЗ) применяется при изучении глубинного строения земной коры и верхней мантии, при поиске и разведке месторождений углеводородов, твердых полезных ископаемых и геотермальных ресурсов, а в высокочастотных модификациях — и при решении разных малоглубинных задач. Метод МТЗ использует принцип индукционного зондирования, при этом глубинность исследований определяется периодом колебаний магнитотеллурического (МТ) поля.

Верхняя часть разреза обычно сложена изменчивыми по составу и состоянию горными породами, что выражается в появлении приповерхностных неоднородностей (ЛППН). локальных распространены практически повсеместно, но наиболее проявляются в областях, где отсутствует непрерывный осадочный чехол, в зонах развития многолетнемерзлых пород, в горных регионах. ЛППН ΜΟΓΥΤ обладать хаотичными значениями электрического сопротивления (УЭС), а могут быть преимущественно высокоомными или проводящими.

ЛППН могут существенно искажать МТ данные, причем такие искажения имеют гальванический характер и проявляются в электрическом поле практически во всем диапазоне периодов. Возникают статические смещения амплитудных кривых МТЗ, построенных с использованием компонент тензора импеданса [Z] и теллурического тензора [T]. Это затрудняет интерпретацию МТ данных и может привести к ошибкам при построении геоэлектрических моделей.

Таким образом, подавление эффектов ЛППН в МТ данных является актуальной научной проблемой. Существует ряд подходов к ее решению, связанных с выделением устойчивых к влиянию ЛППН характеристик и с коррекцией этого влияния на амплитудные кривые МТЗ. Диссертационная работа направлена на анализ эффективности и дальнейшее развитие этих подходов.

#### Степень разработанности темы

Проблема, связанная с искажающим влиянием ЛППН, известна давно, с начала практического применения метода МТЗ. Ей посвящены работы основателей магнитотеллурики М.Н. Бердичевского, Л.Л. Ваньяна, В.И. Дмитриева, А.А. Кауфмана, А.А. Ковтун, И.И. Рокитянского и многих других исследователей.

К настоящему времени сложились три основных группы методов, направленных на подавление влияния ЛППН и извлечение информации о глубинных структурах.

- $1.\$ Методы декомпозиции тензора импеданса. В их основе лежит представление тензора [Z] как произведения матрицы локальных электрических искажений [e], связанных с влиянием ЛППН, и региональной составляющей  $[Z^R]$ , связанной с глубинными структурами. Эта идея была сформулирована в работе (Zhang, Roberts, Pedersen, 1987). Свое развитие она получила в методах Бара (Bahr, 1988), Грума-Бэйли (Groom, Bailey, 1989), фазового тензора (Caldwell, Bibby, Brown, 2004) и других. В результате применения подобных методов осуществляется переход от тензора импеданса к характеристикам, свободным от влияния ЛППН и чувствительным к глубинным структурам.
- 2. Методы нормализации кривых МТЗ. Их идея заключается в том, чтобы исправить искаженный уровень амплитудных кривых. Например, кривые кажущегося сопротивления могут быть приведены к уровню кривых методов индукционного зондирования с измерением магнитного поля глубинного магнитовариационного зондирования (ГМВЗ) или зондирования становлением поля в ближней зоне (ЗСБ) (Рокитянский, 1971; Andrieux, Wightman, 1984; Pellerin, Hohmann, 1990). Широкое распространение получила пространственная низкочастотная фильтрация, при которой кривые приводятся к уровню, медленно меняющемуся в пространстве. Большое число работ, посвященной этой методике были написаны М. Н. Бердичевским (Бердичевский и др., 1989; Бердичевский и др., 1995).
- 3. Методы коррекции статических смещений в ходе инверсии. В ряде программ решения обратных 2D и 3D задач, помимо параметров модели, подбираются коэффициенты смещения кривых или элементы частотно-независимой матрицы гальванических искажений (Sasaki, Meju, 2006; Avdeeva et al., 2015). Это, однако, повышает число неизвестных параметров и неустойчивость решения.

#### Цель исследования

Целью исследования является анализ эффективности методов декомпозиции тензора импеданса [Z] и теллурического тензора [T], а также нормализации кривых MT3 с помощью пространственной фильтрации, и в конечном итоге выбор оптимальной методики подавления приповерхностных искажений в данных MT3.

#### Задачи исследования

- 1. Построение геоэлектрической модели, содержащей глубинную структуру и приповерхностный неоднородный слой. Численное моделирование МТ поля для модели с разными вариантами приповерхностного слоя.
- 2. Разработка программного обеспечения для анализа МТ данных, разделения локальных и региональных эффектов, нормализации амплитудных кривых МТЗ.
- 3. Анализ синтетических МТ данных для оценки искажающего влияния ЛППН в тензоре импеданса и теллурическом тензоре.
- 4. Оценка возможностей методов разделения локальных и региональных эффектов в тензоре импеданса.
- 5. Адаптация методов разделения локальных и региональных эффектов к теллурическому тензору и оценка их возможностей.
- 6. Исследование эффективности использования различных весов при пространственной низкочастотной фильтрации кривых МТЗ.
- 7. Выбор оптимального способа нормализации дополнительных компонент тензора импеданса и теллурического тензора.
- 8. Определение места рассмотренных методов в общем графе MT исследований.

#### Научная новизна исследования

Составлена характерная геоэлектрическая модель, содержащая проводящую впадину в верхней части высокоомного фундамента и неоднородную верхнюю часть разреза. С использованием синтетических данных, рассчитанных для этой модели, исследованы возможности методов разделения локальных и региональных эффектов в тензоре импеданса [Z]. Эти методы адаптированы к теллурическому тензору [T].

Исследованы возможности коррекции статического смещения с помощью пространственной низкочастотной фильтрации. Впервые опробованы дополнительные весовые характеристики, связанные с различием в уровнях кривых на соседних точках наблюдения и с различием в ориентации амплитудных и фазовых полярных диаграмм. Предложена методика нормализации дополнительных компонент [Z] и [T] с использованием коэффициентов нормализации, вычисленных для основных компонент.

#### Практическая значимость работы

Применение методов выделения из-под приповерхностного шума неискаженной информации о глубинных структурах и понимание

возможностей этих методов позволит более надежно интерпретировать МТ данные и решать геологические задачи, связанные с изучением глубинного строения и месторождений полезных ископаемых.

Разработанное программное обеспечение может применяться для анализа МТ данных, для подавления в них приповерхностных эффектов, для их визуализации и преобразования в различные форматы.

Полученные результаты рассматриваются в учебном курсе «Прямые и обратные задачи электромагнитных зондирований», читаемом для магистрантов кафедры геофизики геологического факультета МГУ.

#### Методология и методы диссертационного исследования

Методология исследования построена на использовании синтетических МТ данных, рассчитанных для составленных автором геоэлектрических моделей, для оценки эффективности и дальнейшего развития различных методов подавления приповерхностных эффектов. При этом рассматривались методы, которые можно отнести к двум группам: (1) декомпозиции тензора импеданса [Z] и теллурического тензора [T]; и (2) нормализации амплитудных кривых МТЗ.

В ходе исследования для расчета синтетических МТ данных использовалось программное обеспечение для 3D моделирования МТ3DFwd (автор – R. Mackie). Для анализа и сопоставления результатов применения методов подавления приповерхностных эффектов использовалась программа МТDA, разработанная с участием автора диссертации. Для визуализации результатов в основном применялись программы Grapher и Surfer компании Golden Software.

#### Защищаемые положения

- 1 В условиях искажения магнитотеллурического поля влиянием локальных приповерхностных неоднородностей фазовый теллурический тензор эффективно решает задачу оценки размерности среды и определения направления простирания региональных структур.
- 2. Эффективность нормализации кривых МТЗ с применением пространственной низкочастотной фильтрации повышается с введением системы дополнительных весов за расхождение между осями амплитудных и фазовых полярных диаграмм, и за отклонение уровня кривой от среднего в скользящем окне.
- 3. Для нормализации дополнительных компонент тензора импеданса и теллурического тензора эффективно использование коэффициентов нормализации, определенных для главных компонент.

## Степень достоверности полученных в ходе исследования результатов

Достоверность сделанных выводов об эффективности подходов к подавлению влияния ЛППН на МТ данные подтверждается сравнением результатов применения этих подходов с результатами расчётов для геоэлектрической модели без ЛППН. Также эта достоверность подтверждается согласием с результатами исследований других авторов в той части, в которой они перекрываются.

Основные результаты работы докладывались в ходе серии научных конференций и опубликованы в статьях.

#### Апробация работы

диссертации Результаты докладывались автором самостоятельно или соавторами докладов на следующих научных конференциях: XXX Международная научная конференция студентов, аспирантов и молодых ученых «Ломоносов-2023» (Москва, 2023), Всероссийский семинар по электромагнитным зондированиям Земли, посвященный 100-летию профессора М.Н. Бердичевского (Москва, 2023), 50-я сессия Международного семинара им. Д.Г. Успенского – В.Н. Страхова «Вопросы теории и практики геологической интерпретации гравитационных, магнитных и электрических полей» (Москва, 2024), VII Международная геолого-геофизическая конференция и выставка «ГеоЕвразия 2024. Геологоразведочные технологии: наука и бизнес» (Москва, 2024), Научная конференция «Ломоносовские чтения - 2024», секция «Геология», подсекция «Геофизика» (Москва, 2024), 6-я конференция Всероссийская научная МФТИ, направление «Фундаментальная и прикладная физика», Секция прикладной геофизики (Долгопрудный, 2024), IX Международный симпозиум «Проблемы геодинамики и геоэкологии внутриконтинентальных орогенов» (Бишкек, 2024), III Научно-практическая конференция «Электроразведка-2024» имени И.Х. Абизгильдина (Москва, 2024), 51я сессия Международного семинара им. Д.Г. Успенского - В.Н. Страхова "Вопросы теории практики геологической интерпретации гравитационных, магнитных и электрических полей" (Пермь, 2025), Научная конференция «Ломоносовские чтения – 2025», секция «Геофизика» 2025), «Геология». подсекция (Москва, VIII Международная геолого-геофизическая конференция и выставка «ГеоЕвразия-2025. Геологоразведочные технологии: наука и бизнес» Международная 2025), 10-я научно-практическая конференция «Инновации в геологии, геофизике и географии — 2025» (Москва, 2025), IX Всероссийская школа-семинар по электромагнитным зондированиям Земли имени М.Н. Бердичевского, Л.Л. Ваньяна и В.И. Дмитриева (Иркутск, 2025).

В сборниках материалов всероссийских и международных конференций опубликовано 2 статьи. Получено 2 свидетельства о регистрации прав на программное обеспечение<sup>1</sup>.

#### Публикации

Основные результаты диссертации опубликованы в 7статьях в рецензируемых научных журналах, из них 5 в изданиях, рекомендованных Ученым советом МГУ для защиты по специальности.

#### Личный вклад

Автор принимал непосредственное участие в создании геоэлектрической модели и численном моделировании МТ поля, в написании двух зарегистрированных программ (GMC и МТDA) для построения моделей и коррекции магнитотеллурических данных. Автор самостоятельно тестировал методы разделения локальных и региональных магнитотеллурических эффектов, а также адаптировал метод фазового тензора для теллурического тензора. Автором лично была осуществлена нормализация синтетических данных, включая реализацию новых весовых характеристик и методики нормализации дополнительных компонент тензоров.

Во всех опубликованных работах вклад автора является определяющим. Автор принимал активное участие в постановке научных задач, проведении численных исследований, разработке моделей, оценке полученных результатов и подготовке их к печати. Автором была проделана значительная работа над текстом статей с последующим представлением их в редакции

журналов, осуществлена переписка с редакторами и рецензентами.

#### Структура и объем диссертации

Диссертация состоит из введения, 5 глав, заключения и списка литературы из 98 наименований. Общий объем диссертации — 157 страниц, содержит 67 рисунков и 7 таблиц.

 $<sup>^{1}</sup>$  1. Пушкарев П.Ю., Суконкин М.А., Попов Д.Д. Свидетельство № 2024690038 о государственной регистрации программы для ЭВМ "GMC". — М.: Роспатент, 2024.

<sup>2.</sup> Пушкарев П.Ю., Суконкин М.А., Попов Д.Д. Свидетельство № 2024690039 о государственной регистрации программы для ЭВМ "МТDA". — М.: Роспатент, 2024.

#### Поддержка работы

В 2024 и 2025 годах работа велась при финансовой поддержке Российского научного фонда, проект № 24-27-00147.

#### Благодарности

Автор выражает сердечную благодарность своему научному руководителю, д.г.-м.н., профессору кафедры геофизики геологического факультета МГУ Пушкареву Павлу Юрьевичу за неоценимую помощь и поддержку на всех этапах выполнения работы, а также за содействие в написании и публикации статей.

Автор благодарен всем преподавателям, научным сотрудникам, аспирантам и студентам отделения геофизики Московского Государственного Университета за предоставленную возможность получить необходимые для написания представленной работы навыки и знания, за предоставленное программное обеспечение.

Автор выражает свою признательность сотрудникам ООО «НТЦ Северо-Запад» за помощь и советы на разных этапах диссертационного исследования, а также за предоставленные источники литературы.

Отдельно автор хочет поблагодарить начальника отдела комплексных инженерных изысканий БКИИ АО «Атомэнергопроект» Собчинского Николая Сергеевича за помощь с организацией рабочего процесса.

#### **II. ОСНОВНОЕ СОДЕРЖАНИЕ РАБОТЫ**

Во **Введении** изложены актуальность темы исследований, степень разработанности проблемы, цели и задачи исследований, научная новизна и практическая значимость работы, сформулированы основные защищаемые положения, приведена информация об апробации и публикациях, а также о личном вкладе автора.

## Глава 1. Обзор методов подавления влияния локальных приповерхностных неоднородностей в MT данных.

Первая глава диссертационного исследования разделена на 3 раздела, в первом (1.1) из которых рассматривается природа локальных приповерхностных неоднородностей. Bo втором разделе рассматриваются основные методы нормализации амплитудных кривых МТЗ для борьбы с искажающими эффектами ЛППН. Третий раздел (1.3) описывает методы декомпозиции тензора импеданса, рассматриваются параметры, которые можно устойчиво определить из искаженных МТ данных. Классификация методов, разобранных в этой главе, приведена на рисунке 1.

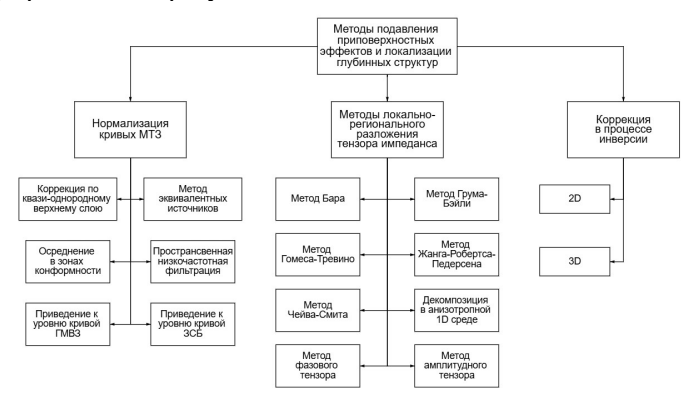


Рисунок 1 — Классификация методов подавления эффектов ЛППН и локализации глубинных структур.

## Глава 2. Геоэлектрическая модель с неоднородным верхним слоем и анализ синтетических МТ данных.

В первом разделе (2.1) второй главы описана геоэлектрическая модель, используемая в работе. Она включает в себя фоновый слоистый разрез, глубинную трехмерную неоднородность, а также приповерхностный слой (рисунок 2). Этот слой содержит в себе множество трехмерных ЛППН, распределение которых отображено на рисунке 3. Эти неоднородности были помещены в приповерхностный

слой мощностью 25 метров. Значения удельного электрического сопротивления неоднородностей варьируются от 1 до 100 Ом·м, при фоновом УЭС верхнего слоя 10 Ом·м. Рассмотрены также варианты модели с однородным верхним слоем, а также с ЛППН с аномальным УЭС одного знака относительно вмещающего слоя и с различными мощностями.

При составлении геоэлектрической модели применялась программа GMC (Geophysical Models Creator), написанная автором совместно с П.Ю. Пушкаревым и Д.Д. Поповым (Пушкарев и др., 2024а). Расчеты МТ поля выполнялись с помощью программы MT3DFwd (Mackie et al., 1993).

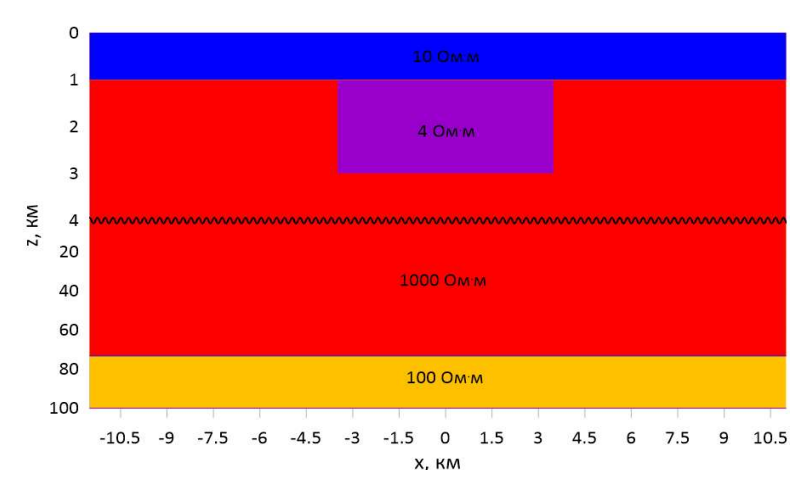


Рисунок 2 — Разрез геоэлектрической модели.

В последующих разделах главы продемонстрировано влияние ЛППН на различные МТ параметры. Для их расчета была задействована программа МТDA (Magneto Telluric Data Analysis), написанная теми же авторами в системе MATLAB (Пушкарев и др., 2024b). На рисунке 4 в качестве примера представлены кривые эффективного кажущегося сопротивления и фазы эффективного импеданса, полученные в точках, обведенных кружками на карте на рисунке 3. Как уже упоминалось ранее, под влиянием аномального поля, связанного с ЛППН, происходит статический сдвиг кривых кажущегося сопротивления, а фазовые кривые остаются практически неизменными. На рисунке 4 а,б изображены кривые МТЗ в точке 1 над высокоомной ЛППН с УЭС 20 Ом·м, здесь кривая кажущегося сопротивления смещается вверх (по

сравнению с результатами для модели с однородным приповерхностным слоем). На рисунке 4 в,г показаны кривые над проводящей ЛППН (точка 2), в этом случае кривая кажущегося сопротивления смещается вниз.

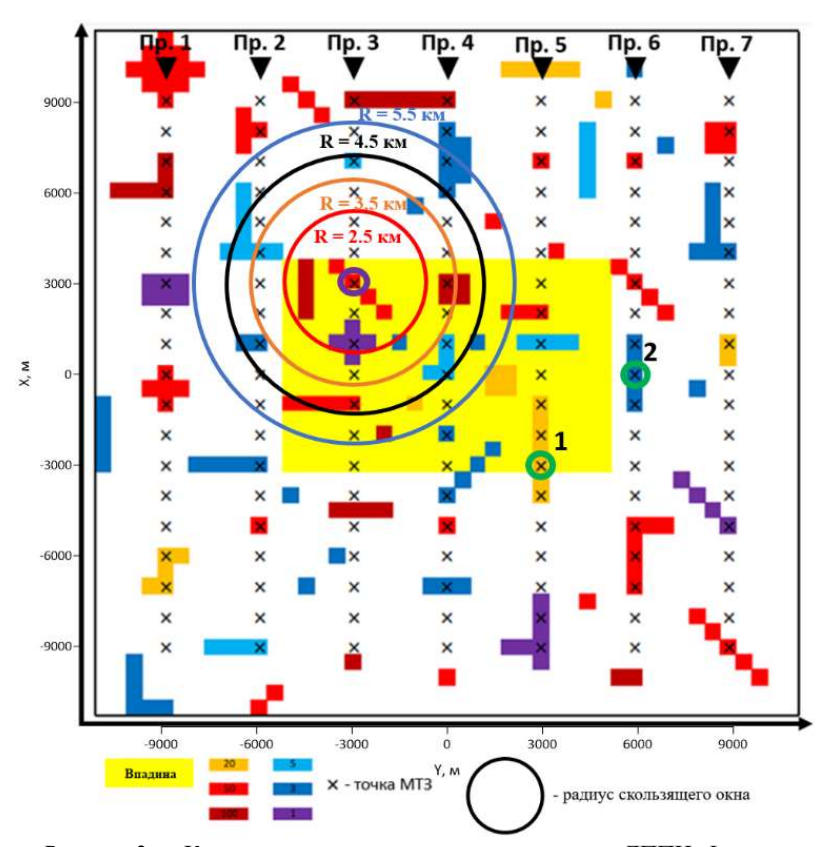


Рисунок 3 — Карта верхнего слоя модели, содержащего ЛППН. Фоновое значение УЭС — 10 Ом·м, УЭС ЛППН меняются от 1 до 100 Ом·м. Желтым прямоугольником показано положение глубинной проводящей впадины. Крестики — точки МТЗ. Треугольниками обозначено направление профилей. Зелеными кружками обведены точки, данные которых представлены на следующих рисунках, а фиолетовым — точка, в которой продемонстрирован анализ нормализованных данных в 5 главе. Тонкими кругами обозначены радиусы скользящего окна, в котором проводилась пространственная фильтрация.

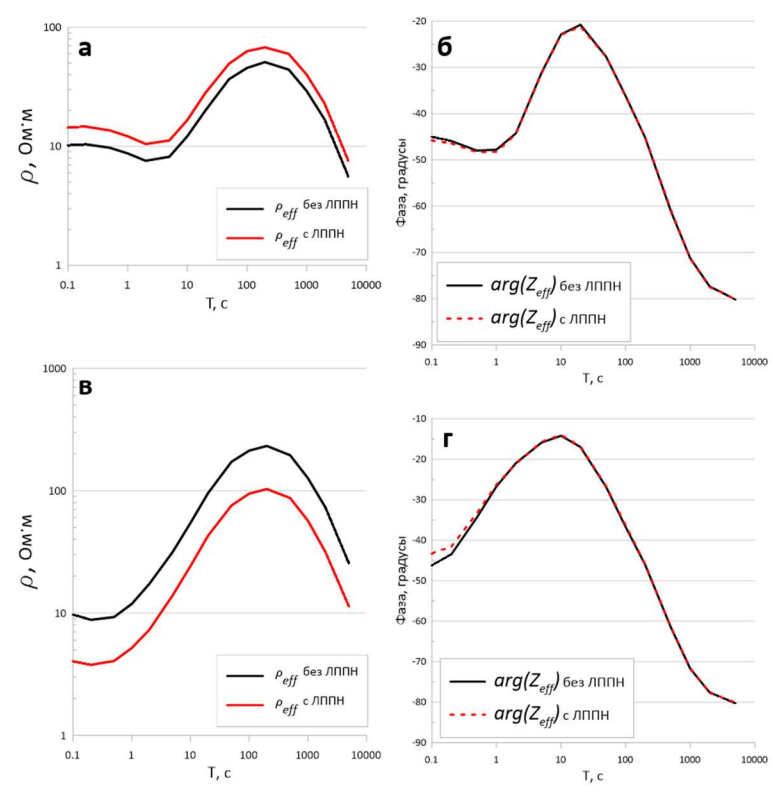


Рисунок 4 — Кривые эффективного кажущегося сопротивления (а, в) и фазы эффективного импеданса (б, г). Вверху (а, б) — точка 1 над высокоомной ЛППН (20 Ом·м), внизу (в, г) — точка 2 над проводящей ЛППН (3 Ом·м).

### Глава 3. Локально-региональное разложение тензора импеданса.

В третьей главе на синтетических данных для модели, представленной в предыдущей главе, были опробованы методы Бара (Bahr, 1988) и фазового тензора (Caldwell et al., 2004). В первом разделе (3.1) рассчитывались главные направления тензора импеданса [Z], которые в 2D среде определяют азимуты вдоль и вкрест простирания структур, а для изометричных структур ориентированы в радиальном и азимутальном направлениях. Для определения главных направлений может применяться метод ортогонализации Эггерса (Eggers, 1982), который, однако, неустойчив к влиянию ЛППН. На рисунке 5 крестиками показаны главные направления, определенные методами

Эггерса (слева) и Бара (справа) на периоде 10 с. Видно, что добавление в модель ЛППН влияет на главные направления по Эггерсу, в то время как главные направления по Бару и при этом почти не меняются.

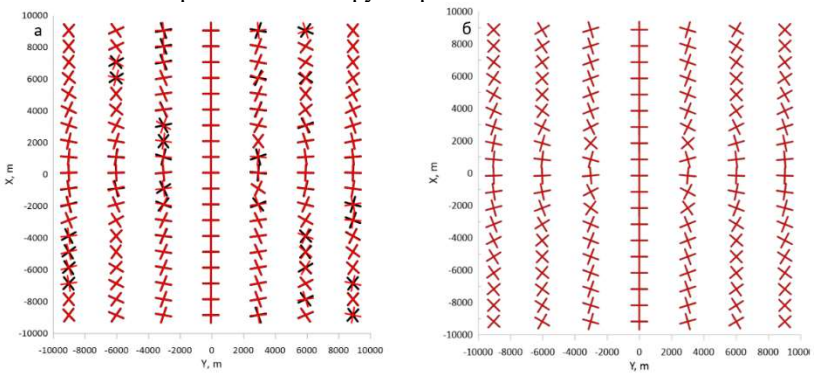


Рисунок 5 — Карты главных направлений тензора импеданса, определенных методами Эггерса (а) и Бара (б) на периоде 10 с. Черные крестики - для модели без ЛППН, красные – для модели с ЛППН. Период 10 с.

Во втором разделе (3.2) проводился анализ параметров асимметрии в различных точках МТЗ, в нем наглядно демонстрируется влияние ЛППН на параметры, определенные методами Свифта (Swift, 1967) и Эггерса, в то же время методы локально-регионального разложения, а именно Бара и фазового тензора, демонстрируют устойчивость к подобным искажениям.

В третьем разделе главы (3.3) строились и анализировались полярные диаграммы различных компонент тензора импеданса. Амплитудные полярные диаграммы главной и дополнительной компонент в точке МТЗ № 1 (см. рис. 3) показаны на рисунке 6. Точка располагается у угла глубинной неоднородности и попадает на вытянутую меридионально ЛППН. На периоде 1 с полярные диаграммы для варианта модели с неоднородным верхним слоем характерны для двухмерной среды и отражают влияние этой ЛППН. На больших периодах добавляется влияние проводящей впадины и наблюдается суперпозиция приповерхностного и глубинного эффектов.

Фазы компонент тензора импеданса менее подвержены влиянию ЛППН, поэтому полярные диаграммы фазы основной компоненты  $arg(Z_{xy})$  для вариантов модели с однородным и неоднородным верхним слоем практически совпадают. На рисунке 7 приведены диаграммы фаз главной компоненты тензора импеданса для той же точки МТЗ №1. На коротких и длинных периодах диаграммы свидетельствуют об

одномерном характере среды, а на промежуточном периоде (10 с) вытягиваются под влиянием глубинной структуры. Так как точка расположена у ее угла, то диаграмма поворачивается. Таким образом, полярные диаграммы фаз огибают главную структуру, показывая контур ее границы. Полярные диаграммы фазы в общем случае параллельны или ортогональны амплитудным диаграммам главной компоненты, если последние не осложнены влиянием ЛППН.

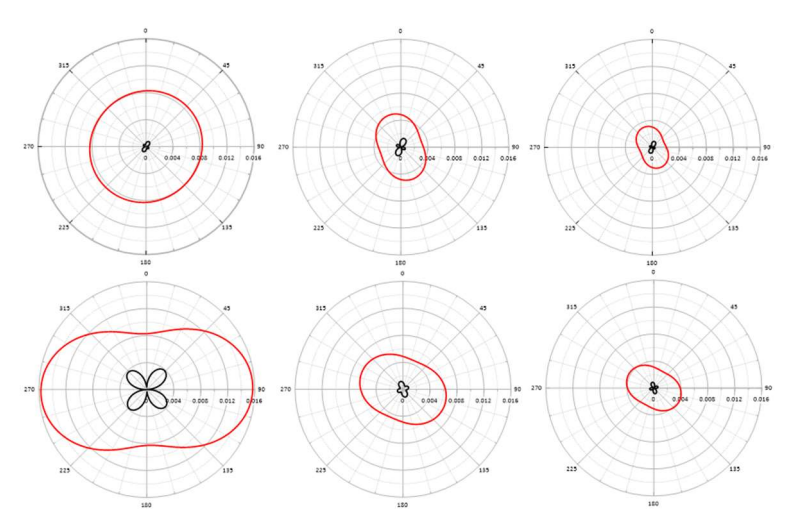


Рисунок 6 — Полярные диаграммы модулей компонент тензора импеданса в точке 1 на периодах 1, 10 и 100 с (слева направо) для двух моделей, сверху — без ЛППН, снизу - с ЛППН. Красный цвет — компонента  $|Z_{xy}|$ , черный —  $|Z_{xx}|$ .

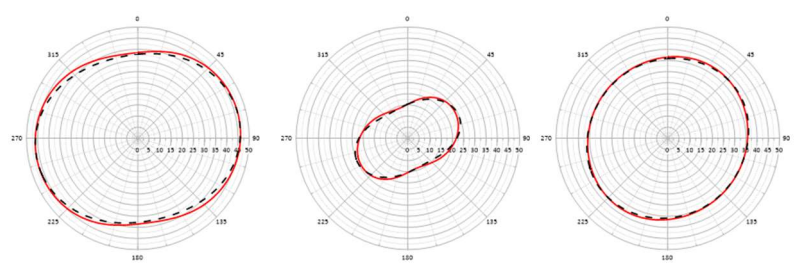


Рисунок 7 — Полярные диаграммы фазы основной компоненты тензора импеданса  $arg(Z_{xy})$  на периодах 1, 10 и 100 с (слева направо) в точке МТЗ №1, черный пунктир — модель без ЛППН, красный цвет — с ЛППН.

## Глава 4. Локально-региональное разложение теллурического тензора.

Четвертая глава посвящена возможностям применения теллурического тензора [T], определяемого из линейных соотношений электрического поля в рядовой и базовой точках. Базовая точка располагалась в области без неоднородностей вне карты, показанной на рисунке 3. Подходы, применяемые при анализе тензора импеданса, рассмотренные в предыдущей главе, были адаптированы для анализа [T]и опробованы на данных для той же модели. В первых двух разделах главы (4.1 и 4.2) описывается суть метода теллурических токов и поведение [T] в средах различной размерности, а в третьем разделе (4.3) особое внимание уделено теории локально-регионального разложения [T], которое, как и в случае с тензором импеданса, позволяет разделить влияние приповерхностных и глубинных структур. Четвертый раздел (4.4) описывает определяемый по [T] фазовый тензор  $[\Phi^T]$ , свободный от приповерхностных эффектов.

В пятом разделе (4.5) рассматриваются кривые компонент [T]. На рисунке 8 представлены кривые модулей и фаз главных и дополнительных компонент [T] в точке 1. В случае модели с однородным верхним слоем, кривые модулей главных компонент начинаются с единицы, а в правой части выходят на пониженный уровень, так как точка находится над проводящей впадиной. Также стоит обратить внимание, что смещение по уровню происходит только для одной кривой, что связано с меридиональным простиранием ЛППН.

В шестом разделе (4.6) рассмотрены карты инвариантов [T] — эффективной компоненты  $|T_{eff}|$  и ее фазы, теллурических параметров асимметрии Свифта и Бара, а также инвариантов фазового тензора  $[\Phi^T]$  — параметров  $\alpha^T$  и  $\beta^T$ . Параметр  $\alpha^T$  имеет смысл направления, связанного с глубинными структурами. Как видно из рисунка 9, оно ориентировано вдоль или вкрест границ глубинной неоднородности на центральных меридиональном и широтном профилях. По углам планшета, вокруг проводящей впадины, оно ориентировано радиально или азимутально по отношению к ней. Параметр  $\beta^T$  по своему смыслу является параметром асимметрии (аналогом  $skew_B^T$ ), хотя измеряется в градусах, поэтому его значения взяты по модулю и показаны изолиниями. Следует отметить, что полученный по [T] результат очень близок к результату, полученному по тензору импеданса.

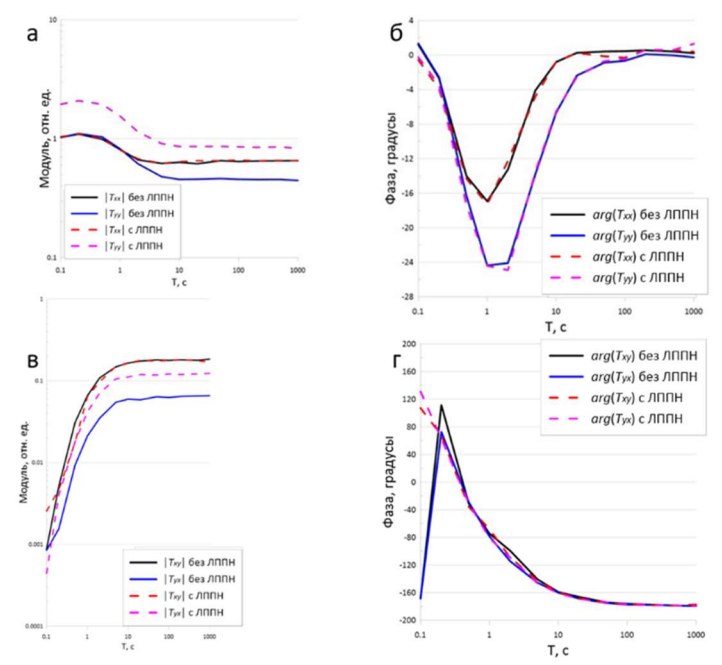


Рисунок 8 — Кривые модулей и фаз компонент теллурического тензора в точке 1 для обеих моделей: а — модули главных компонент  $|T_{xx}|$  и  $|T_{yy}|$ , б — фазы главных компонент  $arg(T_{xx})$  и  $arg(T_{yy})$ , в — модули дополнительных компонент  $|T_{xy}|$  и  $|T_{yx}|$ , г — фазы дополнительных компонент  $arg(T_{xy})$  и  $arg(T_{yx})$ .

Наконец в седьмом разделе (4.7) описываются полярные диаграммы компонент [T] и фазового теллурического тензора  $[\Phi^T]$ . В целом их поведение аналогично диаграммам компонент тензора импеданса. На рисунке 10 приведены полярные диаграммы основной и дополнительной компонент теллурического фазового тензора  $\Phi^T_{xx}$  и  $\Phi^T_{xy}$  в точке 1. Диаграммы основной компоненты не зависят от наличия ЛППН и вытягиваются в направлениях, соответствующих азимутальному углу  $\alpha^T$ . На рисунке также показаны направления  $\alpha^T$  и  $\alpha^T_1 = \alpha^T - \beta^T$ . В исследуемой точке значения  $\beta^T$  достаточно существенные, особенно на периоде 10 с, и связаны с региональной структурой.

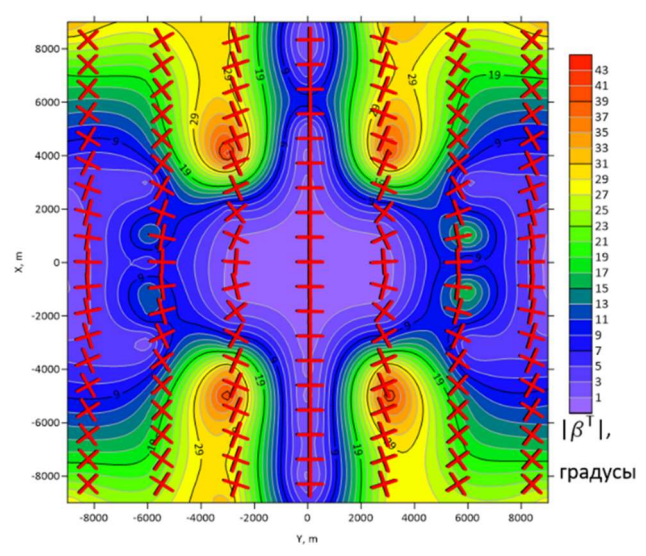


Рисунок 9 — Карта азимутального угла  $\alpha^T$  (показан крестиком вместе с  $\alpha^T$  +90 $^0$ ) на фоне значений модуля параметра  $[\![|\beta]\!]$   $^T$   $[\![|\beta]\!]$   $^T$   $[\![|\beta]\!]$  модели с однородным верхним слоем, красный — модели с ЛППН.

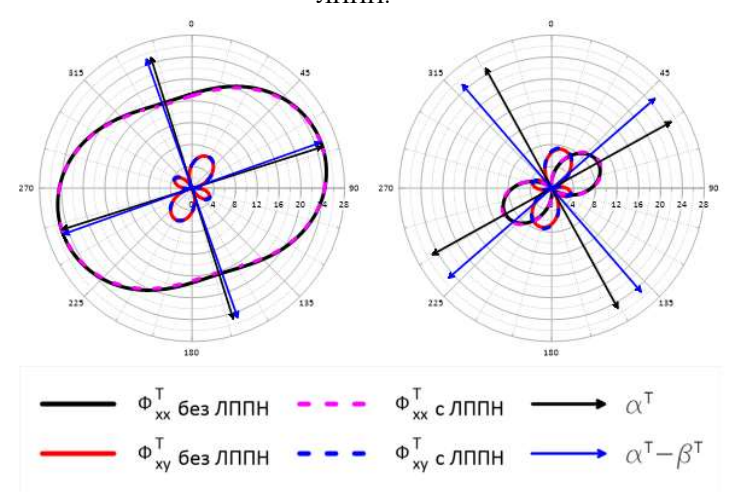


Рисунок 10 — Полярные диаграммы фазового теллурического тензора на периодах 1 и 10 с (слева направо) в точке 1. Черная и красная линии – основная и дополнительная компоненты для модели без ЛППН, фиолетовый и синий пунктир – они же для модели с ЛППН. Черными и синими стрелками показаны (с точностью до  $90^0$ ) направления  $\alpha^T$  и  $\alpha^T - \beta^T$ .

В выводах к главе 4 сказано, что переход от теллурического тензора [T] к его фазовому тензору  $[\Phi^T]$  позволяет избавиться от влияния ЛППН, сильно искажающих электрическое поле. Карта определяемых по  $[\Phi^T]$  направлений  $\alpha^T$  характеризует азимуты, связанные с региональной структурой. Сравнивая представленные здесь результаты с полученными в главе 3, можно сделать вывод, что для используемой геоэлектрической модели информативность [Z] и [T] близка. Однако, этот вывод не следует распространять на все случаи, в частности, магнитная составляющая поля весьма информативна при изучении глубинных (коровых и мантийных) проводящих структур.

## Глава 5. Нормализация кривых МТЗ с помощью пространственной низкочастотной фильтрации.

В заключительной главе для подавления искажающего эффекта ЛППН была проведена нормализация кривых МТЗ с использованием сглаживающих фильтров в скользящем окне с разными радиусами на периоде  $T_0=10$  с. Этот период был выбран после анализа кривых МТЗ, карт и псевдоразрезов МТ параметров на периодах 1, 10 и 100 с, выполненного во второй главе, и показавшего, что искажающее влияние ЛППН на всех этих периодах практически одинаково, даже при увеличении мощности ЛППН.

В первом разделе главы (5.1) рассматривается математическая основа нормализации. Пространственный сглаживающий фильтр, применяемый для расчета значений  $f^{\text{сглаж}}(T_{\theta})$ , обычно строится таким образом, что текущая точка зондирования имеет при осреднении максимальный вес, а вес соседних точек тем меньше, чем больше расстояние до них R. В диссертации были протестированы две такие весовые характеристики. Первая представляет собой простую линейную зависимость, при этом вес текущей точки  $W_{lin}^R$  равен 1, далее он линейно убывает до 0 при увеличении R вплоть до значения  $R_{\theta}$  (радиус фильтра или радиус скользящего окна). Вторая весовая функция основана на экспоненциальной зависимости от R:

$$W_{exp}^R = e^{-(\frac{|R|}{R_0})^q}.$$

Здесь  $R_0$  принято называть полушириной фильтра (Бердичевский и Дмитриев, 2009). Это регулирующий множитель в показателе экспоненциального фильтра, подбираемый опытным путем и задаваемый соизмеримым с шагом наблюдений или в несколько раз больше в зависимости от размера ЛППН, чье влияние мы хотим подавить. Оптимальная величина параметра крутизны q определяется также опытным путем, в данной работе использовалось значение 3.

Помимо весовых характеристик, отражающих удаление точки от центра скользящего окна, был введен для каждой точки вес  $W^A$ ,

«штрафующий» за большое отклонение уровня кривой в точке МТЗ от уровня соседних кривых. Он будет тем меньше, чем сильнее значение f для данной точки отличается от среднегеометрического значения  $f^{\text{средн.}}$ , вычисленного в пределах круга, ограниченного радиусом фильтра  $R_{\theta}$ .

Наконец, был введен вес  $W^D$ , «штрафующий» за искажающее влияние ЛППН, проявляющееся в разной ориентации амплитудных и фазовых полярных диаграмм. В третьей и четвертой главах был получен вывод, что амплитудные полярные диаграммы как тензора импеданса, так и теллурического тензора сильно подвержены искажениям от ЛППН, в то время как их фазовые диаграммы слабо подвержены влиянию ЛППН, а диаграммы фазового тензора вовсе свободны от таких искажающих эффектов. То есть, сравнивая, например, ориентацию диаграмм модуля главной компоненты  $|Z_{xy}|$  и главной компоненты фазового тензора  $\Phi_{xx}$  можно оценить степень искажающего влияния ЛППН.

Таким образом, общий вес в точке МТЗ определялся по следующей формуле:

$$W = W^R \cdot W^A \cdot W^D$$

Определив веса W, для получения искомого сглаженного значения  $f^{\text{сглаж}}(T_0)$  в некоторой точке MT3 выполнялось осреднение по всем точкам в пределах окна:

$$f^{ ext{cглаж}}(T_0) = \prod_{i=1}^M \sqrt[L]{f(T_0, i)^{W_i}}$$

где i — индекс точки, M — число точек в пределах окна, степень корня L — сумма всех использованных весов.

Далее в каждой точке наблюдения рассчитывался коэффициент:

$$k(T_0) = f^{\text{сглаж.}}(T_0)/f(T_0),$$

где  $f(T_0)$  – исходное значение поля в данной точке МТЗ на периоде  $T_0$ . Затем вся кривая приводится к сглаженному уровню путем умножения на коэффициент k.

Во втором разделе главы (5.2) для примера приведены результаты нормализации в точке МТЗ, обведенной на рисунке 3 фиолетовым кружком. На рисунке 11а черным цветом обозначена кривая, соответствующая модели с однородным верхнем слоем, красным — модели с ЛППН. Поскольку точка МТЗ находится над высокоомной приповерхностной неоднородностью, наблюдается статическое смещение кривой вверх по уровню. Применение нормализации позволяет уменьшить это смещение (кривые зеленого и синего цветов). Наилучший результат получается при использовании радиуса нормализации 4,5 км.

Далее в главе демонстрируются результаты нормализации эффективного кажущегося сопротивления вдоль третьего профиля (см. рис. 3) на периоде 10 с. Также вычислялись отклонения  $\sigma$  нормализованных данных от данных для модели с однородным верхним слоем по формуле:

$$\sigma = \sqrt{\frac{1}{K} \sum_{k=1}^{K} (\frac{f_k - f_k^{\text{HOPM}}}{f_k})^2},$$

где  $f_{\rm k}$  — значение в k-й точке для модели с однородным верхнем слоем,  $f_{\rm k}^{\rm Hopm}$  — значение в k-й точке для модели с множеством ЛППН после нормализации. Изначальное отклонение модели с однородным верхним слоем и модели с ЛППН  $\sigma_{\rm minh}$  рассчитывалось по той же формуле, только вместо нормализованного значения подставлялось исходное. Соответствующие значения отклонений от неискаженных данных (вычисленные по данным на этом профиле и периоде) приведены в таблице 1.

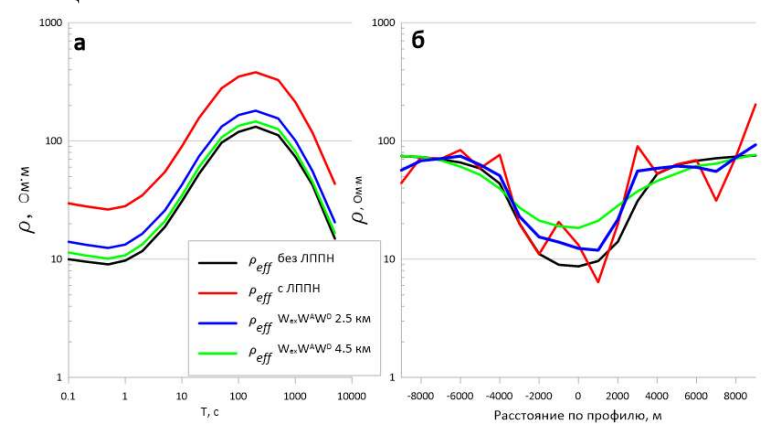


Рисунок 11 — Результаты нормализации эффективного кажущегося сопротивления: а — в точке МТЗ на профиле 3 (см. рис. 3); б — на периоде 10 с вдоль профиля 3. Черные линии отвечают модели без ЛППН, красные – с ЛППН. Зеленые и синие кривые соответствуют различным фильтрам и радиусам скользящего окна (см. легенду, одинаковую для обоих рисунков).

Таблица 1 — Отклонения нормализованных данных от неискаженных (σ) на примере кажущегося сопротивления вдоль профиля 3 (в %), период 10 с.

Используемые	Радиусы скользящего окна (км)			
веса	$R_0 = 2.5$	$R_0 = 3.5$	$R_0 = 4.5$	$R_0 = 5.5$
$W_{lin}^R$	37.39	48.96	63.24	77.32
$W_{exp}^R$	49.24	54.24	60.26	62.28
$W_{lin}^RW^{ m A}$	33.89	45.04	59.78	73.34
$W_{exp}^R W^A$	36.13	49.24	57.25	62.59
$W_{lin}^R W^A W^D$	29.67	38.46	54.97	71.11
$W_{exp}^R W^A W^D$	30.11	43.44	50.44	60.33

Наилучший результат здесь наблюдается при использовании наименьшего радиуса  $R_0=2,5\,$  км, при больших значениях начинает сглаживаться эффект не только от ЛППН, но и от глубинной структуры. При добавлении весов  $W^A$  и  $W^D$  ситуация улучшается, что говорит об эффективности их применения. Графики, изображенные на рисунке 11б, построены для обеспечивших наименьшие отклонения случаев с радиусом окна 2,5 км и использованием всех весов. Видно, что над фоновым разрезом нормализация работает хорошо, но над глубинной неоднородностью, размер которой сопоставим с радиусом окна, наблюдается сглаживание аномалии от исследуемой структуры и завышение значений. Графики главных компонент [Z] и [T] ведут себя схожим образом с кажущимся сопротивлением.

Дополнительные компоненты [Z] и [T] ведут себя иначе. При нормализации с фильтром с полушириной 2.5 км отклонения от неискаженных влиянием ЛППН данных получаются больше, чем отклонение ненормализованных данных. Использование же фильтров с большей полушириной, при которых в окно осреднения попадают точки с соседних профилей, еще сильнее искажают полученный результат. Это хорошо видно на рис. 12, где зеленая кривая отвечает результату нормализации с полушириной фильтра 4,5 км. Связанно это с тем, что максимальные значения  $|Z_{xx}|$  наблюдаются у углов исследуемой впадины, а в остальных точках МТЗ значения этой компоненты невелики. Дополнительная компонента теллурического тензора ведет себя аналогично. Говоря в общем, важным отличием дополнительных компонент от основных является то, что они более резко меняются в

пространстве, достигая больших значений вблизи неоднородностей и быстро убывая при удалении от них.

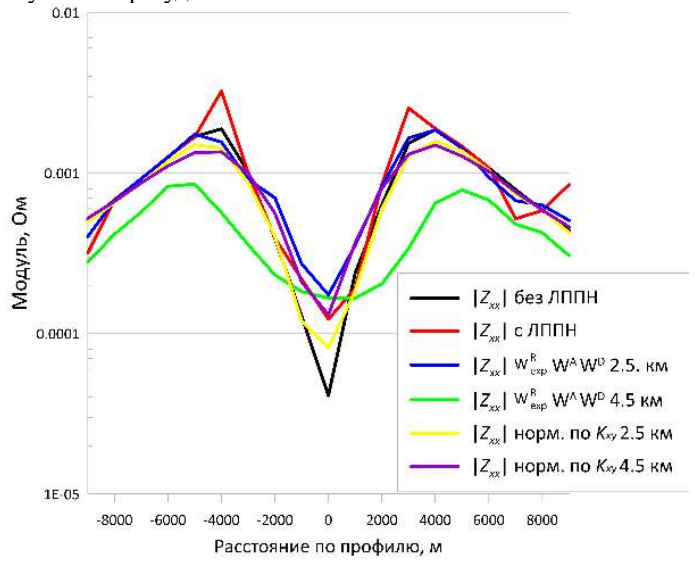


Рисунок 12 — Графики модулей дополнительных компонент [Z] и [T] вдоль профиля 3 (период 10 с): а – компонента | $Z_{xx}$ |, 6 – | $T_{xy}$ |.

Эта ситуация неблагоприятна для нормализации с помощью низкочастотной фильтрации, поэтому в работе предложено выполнять нормализацию кривых по дополнительным компонентам [Z] и [T] с использованием коэффициентов нормализации, вычисленных для основных компонент, связанных с той же составляющей электрического поля (рисунок 13). То есть, например, для  $|Z_{xx}|$  использовать коэффициент, определенный для  $|Z_{xy}|$ , для  $|T_{xy}|$  — коэффициент, определенный для  $|T_{xx}|$ . Результаты, полученные таким способом, также приведены на рис. 12 (желтые и фиолетовые кривые). Видно, что такая нормализация сработала лучше, особенно для широкого фильтра.

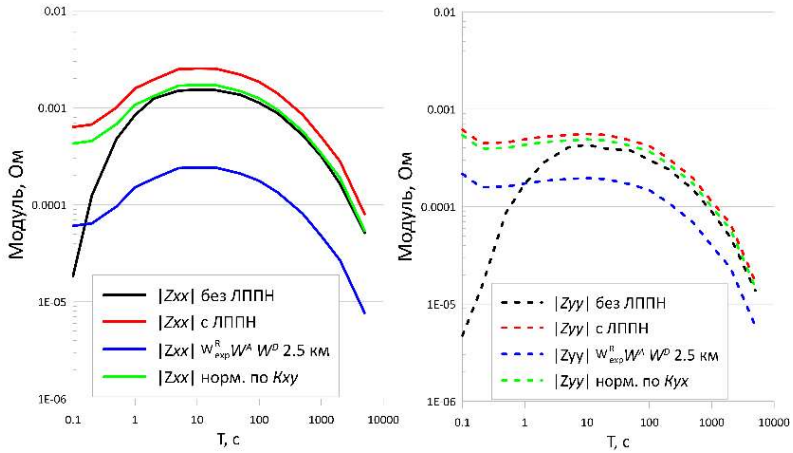


Рисунок 13 — Графики модулей дополнительных компонент тензора импеданса в точке на профиле 3 (см. рис. 3). а – компонента  $|Z_{xx}|$ , б – компонента  $|Z_{yy}|$ . Черные линии отвечают модели без ЛППН, красные – с ЛППН. Зеленые кривые – результат нормализации с радиусом 2.5 км, синие кривые соответствуют результату нормализации с радиусом 2.5 км по коэффициентам от главных компонент.

#### **ЗАКЛЮЧЕНИЕ**

Оценить эффективность методов подавления приповерхностных искажений по наблюденным МТ данным сложно, поскольку истинные геоэлектрические модели неизвестны. Поэтому в работе использованы синтетические МТ данные, рассчитанные для характерной геоэлектрической модели, содержащей глубинную структуру и неоднородный верхний слой (Суконкин и Пушкарев, 2023).

Рассмотрены методы, основанные на локально-региональном разложении тензора импеданса [Z] и выделении характеристик, связанных с глубинными структурами (методы Бара, фазового тензора). Продемонстрирована их эффективность на данных для нашей модели (Суконкин и Пушкарев, 2024), также они адаптированы для теллурического тензора [T] (Суконкин и Пушкарев, 2025).

Широко применяемым методом нормализации амплитудных кривых МТЗ является пространственная низкочастотная фильтрация. При выборе коэффициента смещения кривой в работе предложено использовать веса за отклонение уровня кривой МТЗ от среднего в скользящем окне, а также за расхождение между осями амплитудных и фазовых полярных диаграмм. Показано, что для дополнительных компонент [Z] и [T] эффективнее использовать коэффициенты

смещения, определенные для соответствующих им главных компонент, связанных с той же составляющей электрического поля.

#### Рекомендации, перспективы дальнейшей разработки темы:

В заключение можно определить место методов подавления приповерхностных искажений в общем графе МТ исследований.

Прежде всего, их рационально применять на этапе анализа МТ данных, на котором принято выявлять основные аномалии, оценивать размерность среды и простирание структур, оценивать уровень приповерхностных искажений.

Далее рассмотренные методы целесообразно использовать при подготовке данных к инверсии. В зависимости от выбранной размерности среды эта методика может быть следующей:

В 1D случае обычно используется эффективный импеданс, при этом целесообразно выполнить его нормализацию и дальнейшую 1D инверсию.

В 2D случае представляется полезным использовать методы декомпозиции [Z] и [T], например, метод фазового тензора, для определения простирания глубинных структур. Далее можно применить вращение [Z] и [T] для получения квазипродольных и квазипоперечных по отношению к этим структурам характеристик. Затем остается провести нормализацию этих характеристик и их 2D инверсию.

В 3D случае можно рекомендовать процедуру нормализации всех компонент [Z] и [T], причем с использованием коэффициентов, определенных для основных компонент, для нормализации соответствующих дополнительных. Далее можно переходить к 3D инверсии.

Некоторые программы 2D и 3D инверсии позволяют использовать фазовый тензор. Представляется полезным проведение такой инверсии и дальнейшее сравнение с результатами инверсии нормализованных данных.

#### ІІІ. ПУБЛИКАЦИИ ПО ТЕМЕ ДИССЕРТАЦИИ

Научные статьи, опубликованные в рецензируемых научных изданиях, индексируемых в базе ядра Российского индекса научного цитирования eLibrary Science index:

- 1. **Суконкин М.А.**, Пушкарев П.Ю. Анализ синтетических магнитотеллурических данных, рассчитанных для геоэлектрической модели с приповерхностными неоднородностями // Геофизика. 2023. № 6. С. 65-69. EDN: <u>GVVAUW</u> (1,5 п.л, вклад автора 60%), Импакт-фактор 0,342 (РИНЦ).
- 2. **Суконкин М.А.**, Пушкарев П.Ю. Использование синтетических магнитотеллурических данных для оценки эффективности методов, основанных на локально-региональном разложении тензора импеданса // Вестник Московского университета. Сер. 4: Геология. 2024. Т. 63, № 6. С. 185-196. EDN: <u>FKGNJL</u> (2,5 п.л, вклад автора 65%), Импакт-фактор 0,288 (РИНЦ).
- 3. **Суконкин М.А.**, Пушкарев П.Ю. Эффекты локальных приповерхностных неоднородностей в магнитотеллурических данных и методы их подавления (обзор) // Гелиогеофизические исследования.  $2025 N_{\odot}$ . 47. С. 37-51. EDN: <u>DLYVAF</u> (2 п.л, вклад автора 55%), Импакт-фактор 0,370 (РИНЦ).
- 4. **Суконкин М.А.**, Пушкарев П.Ю. Локально-региональное разложение теллурического тензора // Физика Земли. 2025. № 3. С. 54-69. EDN: <u>FFAISM</u> (2,2 п.л, вклад автора 60%), Импакт-фактор 1,176. (РИНЦ).
- 5. **Суконкин М.А.**, Пушкарев П.Ю. Нормализация кривых магнитотеллурического зондирования с помощью пространственной низкочастотной фильтрации // Геология и геофизика. 2025. Т.66 № 10. С. 1376-1390. EDN: TDJATR (3,6 п.л, вклад автора 60%), Импакт-фактор 1,490 (РИНЦ).

#### Иные публикации

6. **Суконкин М.А.**, Пушкарев П.Ю. Приповерхностные искажения в магнитотеллурических данных на примере грабена // Вопросы теории и практики геологической интерпретации гравитационных, магнитных и электрических полей. — Материалы 50-й юбилейной сессии Международного семинара им. Д.Г. Успенского - В.Н. Страхова, 29 января — 2 февраля 2024 г. Москва: ИФЗ РАН. — Москва: Издательство Перо, 2024. — С. 324—328. (0,56 п.л).

7. **Суконкин М.А.**, Пушкарев П.Ю. Нормализация кривых магнитотеллурического зондирования с учетом фазового тензора // Вопросы теории и практики геологической интерпретации гравитационных, магнитных и электрических полей: Сборник научных трудов. — Пермь: ГИ УрО РАН, 2025. —Т. 51. — С. 308–312. (0,56 п.л).